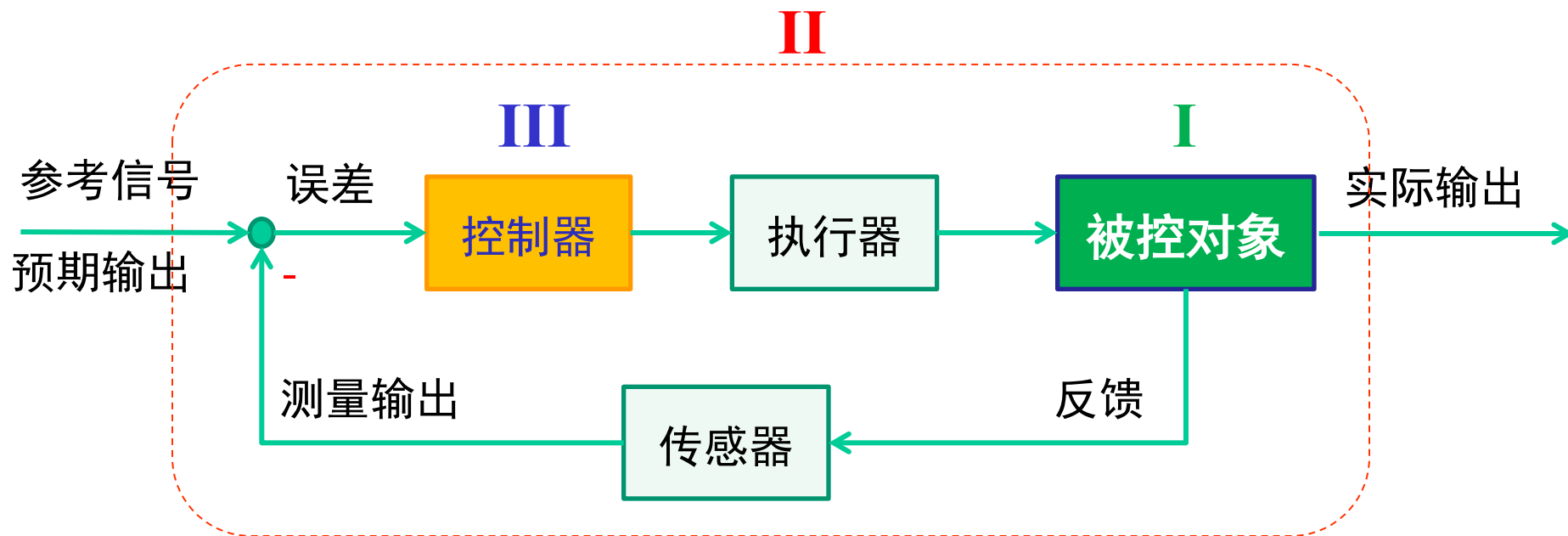




第二章 控制系统的数学模型



I: 系统建模

II: 系统分析

III: 系统设计/综合

I: Modeling

II: Analysis

III: Design/Synthesis



第二章 控制系统的数学模型

2.1 引言

2.2 时域数学模型—微分方程

2.3 Laplace变换

2.4 复数域数学模型—传递函数

2.5 方框图模型

2.6 信号流图

2.6 状态空间模型

2.7 输入输出模型与状态空间模型之间的转换

2.8 线性离散系统的数学模型

2.9 系统数学模型举例



2.1 引言

分析、设计控制系统的第一步是建立系统的数学模型。自控理论方法是先将系统抽象为数学模型，然后用数学方法处理。

- **数学模型**是描述系统各物理量（或变量）之间关系的数学表达式或图形表达式或数字表达式。
- 数学模型是实际物理系统的抽象与近似，是对实际物理系统作简化假设的结果。
- 同一个物理系统可以由若干不同的模型描述，这些模型对应着不同的、待研究的系统特性。
- 不同的实际物理系统可以对应同一个模型。

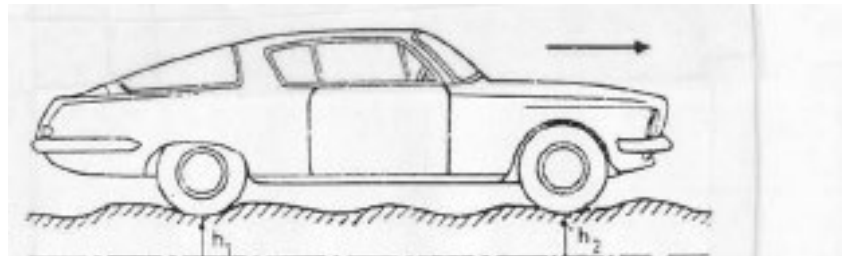
控制系统性能分析与设计的效果取决于系统数学模型的优劣



2.1 引言

汽车减震系统建模过程

实际系统





2.1 引言

理想原件的 微分方程 (Dolf 表2.2)

Table 2.2 Summary of Governing Differential Equations for Ideal Elements

Type of Element	Physical Element	Governing Equation	Energy E or Power \mathcal{P}	Symbol
Inductive storage	Electrical inductance	$v_{21} = L \frac{di}{dt}$	$E = \frac{1}{2} Li^2$	
	Translational spring	$v_{21} = \frac{1}{k} \frac{dF}{dt}$	$E = \frac{1}{2} \frac{F^2}{k}$	
	Rotational spring	$\omega_{21} = \frac{1}{k} \frac{dT}{dt}$	$E = \frac{1}{2} \frac{T^2}{k}$	
	Fluid inertia	$P_{21} = I \frac{dQ}{dt}$	$E = \frac{1}{2} IQ^2$	
Capacitive storage	Electrical capacitance	$i = C \frac{dv_{21}}{dt}$	$E = \frac{1}{2} C v_{21}^2$	
	Translational mass	$F = M \frac{dv_2}{dt}$	$E = \frac{1}{2} M v_2^2$	
	Rotational mass	$T = J \frac{d\omega_2}{dt}$	$E = \frac{1}{2} J \omega_2^2$	
	Fluid capacitance	$Q = C_f \frac{dP_{21}}{dt}$	$E = \frac{1}{2} C_f P_{21}^2$	
Energy dissipators	Thermal capacitance	$q = C_t \frac{dT_2}{dt}$	$E = C_t T_2$	
	Electrical resistance	$i = \frac{1}{R} v_{21}$	$\mathcal{P} = \frac{1}{R} v_{21}^2$	
	Translational damper	$F = b v_{21}$	$\mathcal{P} = b v_{21}^2$	
	Rotational damper	$T = b \omega_{21}$	$\mathcal{P} = b \omega_{21}^2$	
	Fluid resistance	$Q = \frac{1}{R_f} P_{21}$	$\mathcal{P} = \frac{1}{R_f} P_{21}^2$	
	Thermal resistance	$q = \frac{1}{R_t} T_{21}$	$\mathcal{P} = \frac{1}{R_t} T_{21}$	



2.1 引言

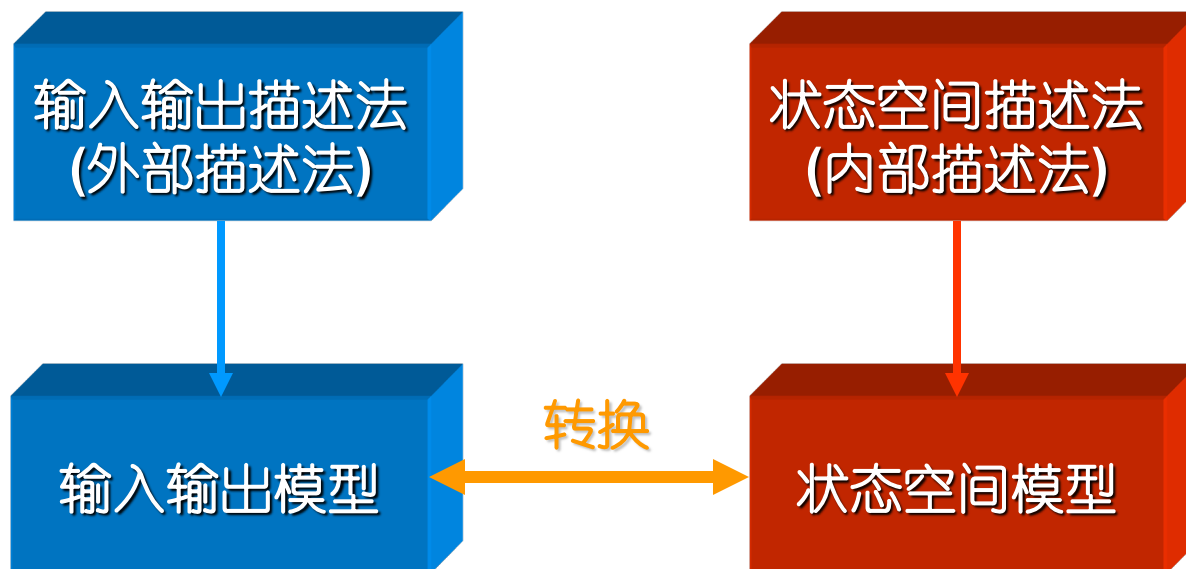
性质不同的系统用不同的数学工具描述其模型

- 线性定常系统： 常系数线性 常微分方程
 传递函数
 脉冲响应 (FIR, IIR)
 状态空间
- 线性时变系统： 变系数线性 常微分方程
- 非线性系统： 非线性 常微分方程 什么是：
 常微分方程 ODE
- 分布参数系统： 偏微分方程 偏微分方程 PDE
- 离散系统： 差分方程 差分方程 DE
 阶数



2.1 引言

线性控制系统描述方法

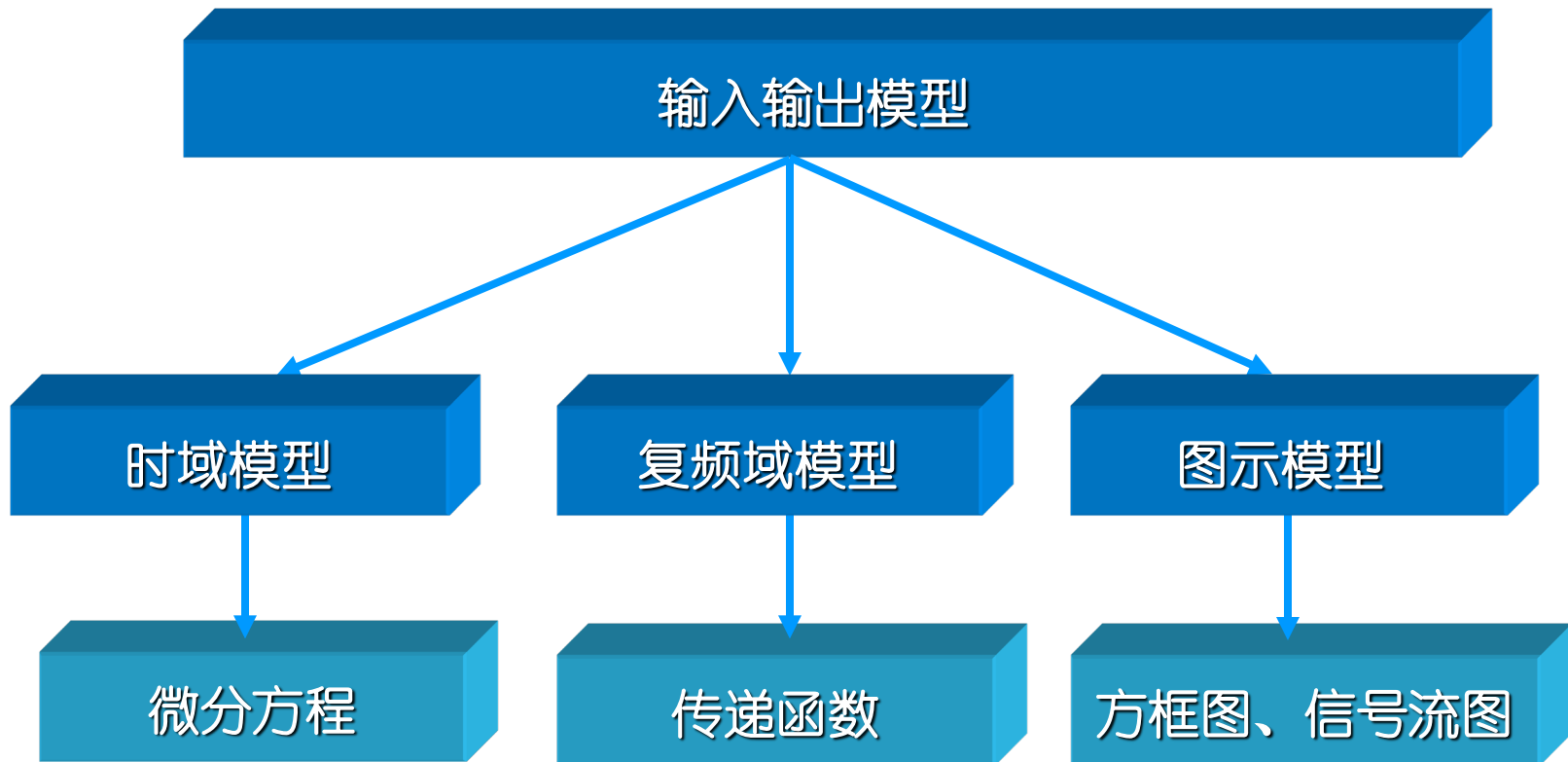


线性控制系统数学模型



2.1 引言

线性控制系统输入输出数学模型





2.1 引言

建立系统数学模型的方法

- 机理分析法（白箱模型）

根据基本的物理规律、化学规律及能量守恒定律等，动态系统可用微分方程描述

- 试验法/测试法（黑箱模型）

经典辨识（脉冲响应、阶跃响应）

- 综合法（灰箱模型）

一般通过机理分析建立模型结构，然后通过系统辨识确定模型参数

数学模型的合理性：

在模型简化性和分析结果的准确性之间，折衷考虑

Great minds on modeling

Our acceptance of models should thus be guided by 'usefulness' rather than 'truth.'

- Lennart Ljung

True 真

1. Get the physics right

2. After that, it is all mathematics.

- Rudolf E Kalman

Make things as simple as possible, but not simpler.

- Albert Einstein

Useful 益

Simple 朴

All models are wrong, some are useful.

- George E P Box

Acknowledge to:
Prof. Xiaohua Xia



2.2 时域中的数学模型—微分方程

● 系统数学模型举例

机械系统的数学模型

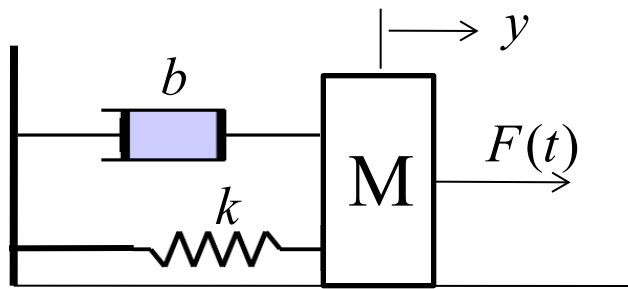


Fig. 2.2 弹簧-质量块-阻尼系统

牛顿定律

- $F = ma$
- $\tau = I\ddot{\theta}$

输入: F 输出: y

$$M\ddot{y} + ky + b\dot{y} = F(t)$$

$$v = \dot{y} = \frac{dy}{dt}$$

输入: F 输出: v

$$M\dot{v} + bv + k \int_0^t v(\tau) d\tau = F(t)$$



2.2 时域中的数学模型—微分方程

电气系统的数学模型

基尔霍夫电流定律 KCL

基尔霍夫电压定律 KVL

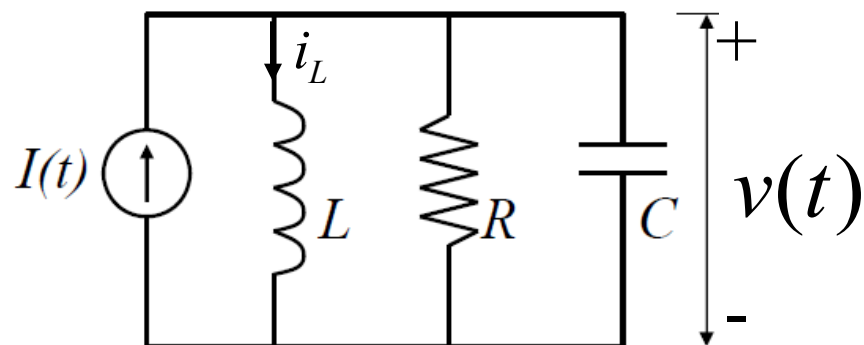


Fig. 2.3 RLC 电路

电容 $i_c(t) = C \frac{dv(t)}{dt}$ $v(t) = \frac{1}{C} \int_0^t i_c(\tau) d\tau$

电感 $v = L \frac{di_L}{dt}$ $i_L(t) = \frac{1}{L} \int_0^t v(\tau) d\tau$

输入: I 输出: $v(t)$

$$C\dot{v} + \frac{1}{R}v + \frac{1}{L} \int_0^t v(\tau) d\tau = I(t)$$



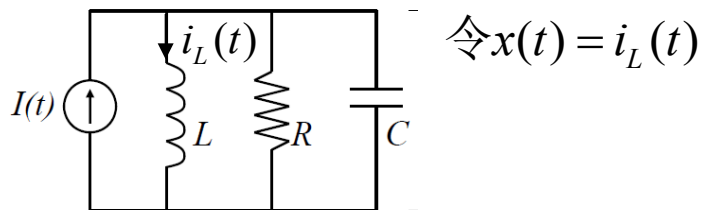
输入: I 输出: $x(t) = i_L$

$$CL\ddot{x} + \frac{L}{R}\dot{x} + x = I(t)$$



2.2 时域中的数学模型—微分方程

电气系统



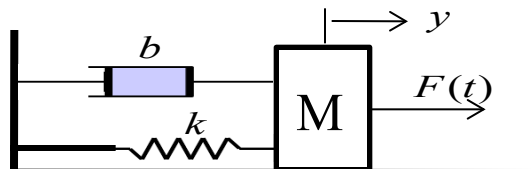
$$CL\ddot{x} + \frac{L}{R}\dot{x} + x = I(t)$$

相似变量：
电感电流——位移

$$\frac{M}{k}\ddot{y} + \frac{b}{k}\dot{y} + y = F(t)$$

相似系统

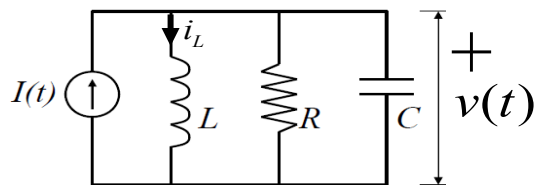
机械系统





2.2 时域中的数学模型—微分方程

电气系统



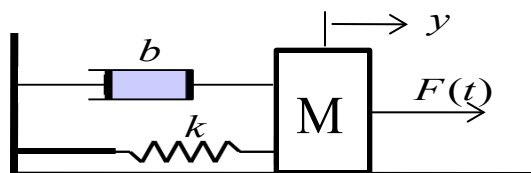
$$C\dot{v} + \frac{1}{R}v + \frac{1}{L}\int_0^t v(\tau)d\tau = I(t)$$

相似变量：
电压--速度

相似系统

$$M\dot{v} + bv + k\int_0^t v(\tau)d\tau = F(t)$$

机械系统



透过现象看本质

道

可以构建A系统来研究B系统



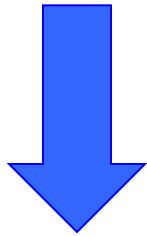
2.2 时域中的数学模型—微分方程

例 2.1.3 一个由弹簧 – 质量 – 阻尼器组成的机械平移系统如图 2.1.3 所示。 m 为物体质量, k 为弹性系数, f 为粘性阻尼系数, 外力 $F(t)$ 为输入量, 位移 $y(t)$ 为输出量。列写系统的运动方程。

解 取垂直向下为力和位移的正方向。当 $F(t) = 0$ 时, 物体的平衡位置为位移 y 的零点。该物体受到四个力的作用: 外力 $F(t)$ 、弹簧的弹力 F_k 、粘性摩擦力 F_B 及重力 mg 。

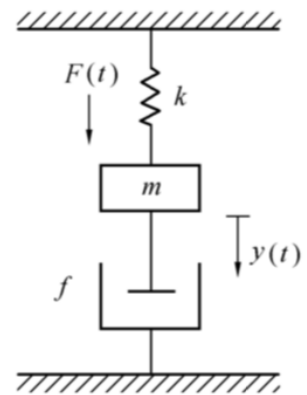
$$F(t) - F_k - F_B + mg = m \frac{d^2 y(t)}{dt^2}$$

$$\begin{aligned} F_B &= f \frac{dy(t)}{dt} \\ F_k &= k[y(t) + y_0] \\ mg &= ky_0 \end{aligned}$$



$$m \frac{d^2 y(t)}{dt^2} + f \frac{dy(t)}{dt} + ky(t) = F(t)$$

$$\frac{m}{k} \frac{d^2 y(t)}{dt^2} + \frac{f}{k} \frac{dy(t)}{dt} + y(t) = \frac{1}{k} F(t)$$

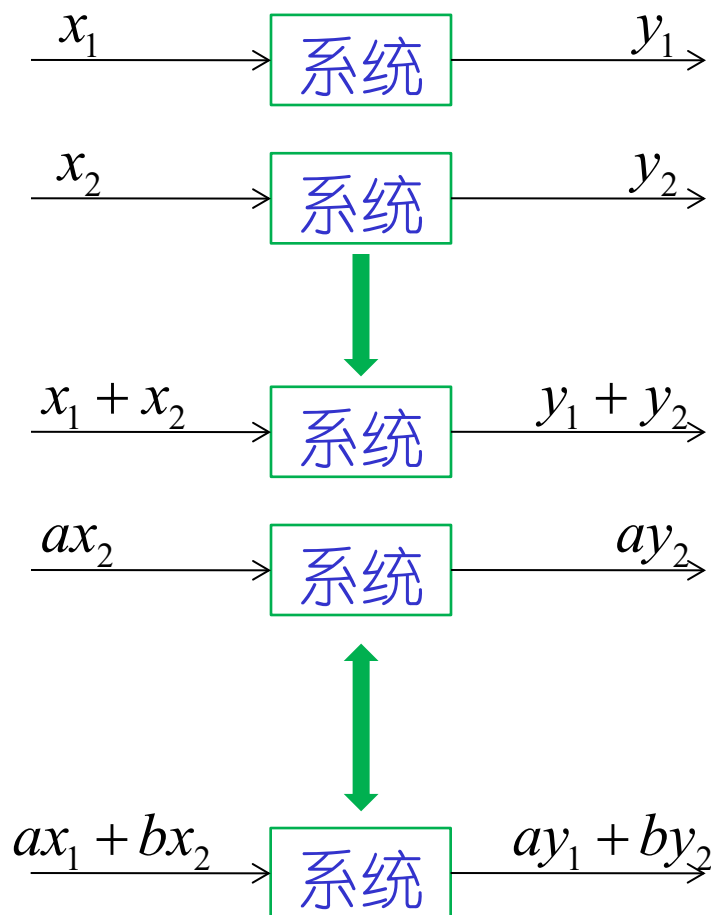


二阶线性
定常系统



2.2 时域中的数学模型—微分方程

● 线性系统



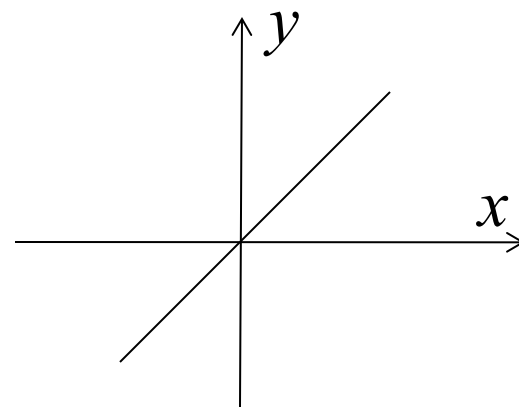
叠加性

齐次性

线性系统

线性时变
系统
(LTV)

线性时不变
系统
(LTI)





2.2 时域中的数学模型—微分方程

● 描写线性定常(LTI)系统的微分方程

linear time-invariant
(LTI)

$$a_n \frac{d^n y(t)}{dt^n} + a_{n-1} \frac{d^{n-1} y(t)}{dt^{n-1}} + \cdots + a_1 \frac{dy(t)}{dt} + a_0 y(t) \\ = b_m \frac{d^m r(t)}{dt^m} + b_{m-1} \frac{d^{m-1} r(t)}{dt^{m-1}} + \cdots + b_1 \frac{dr(t)}{dt} + b_0 r(t)$$

$a_i (i = 0, 1, \dots, n)$ 、 $b_j (j = 0, 1, \dots, m)$ 均为实数

输入: r
输出: y



建立微分方程的一般步骤:

1. 确定输入 $r(t)$ 和输出 $y(t)$;
2. 列写各环节的微分方程;
3. 消去中间变量, 求得输入/输出关系

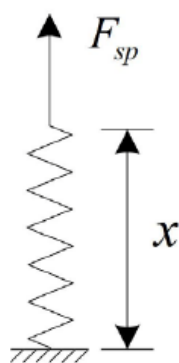
思考:

1. 为什么叫动态系统
dynamic systems
2. n 与 m 的关系?



2.2 时域中的数学模型—微分方程

几乎所有的物理系统均是非线性系统！



非线性弹簧

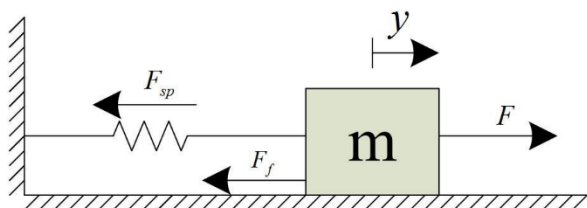
硬化弹簧

软弹簧

$$F_{sp} = x^2$$

$$F_{sp} = k(1 + a^2 x^2)x = kx + ka^2 x^3$$

$$F_{sp} = k(1 - a^2 x^2)x = kx - ka^2 x^3$$



$$m\ddot{y} + c\dot{y} + ky + k\alpha^2 y^3 = \gamma \cos(\omega t)$$

Duffing equation

$$m\ddot{y} = F - F_{sp} - F_f$$

where $F = \gamma \cos(\omega t)$ external force

$F_{sp} = k(1 + \alpha^2 y^2)y$ hardening spring

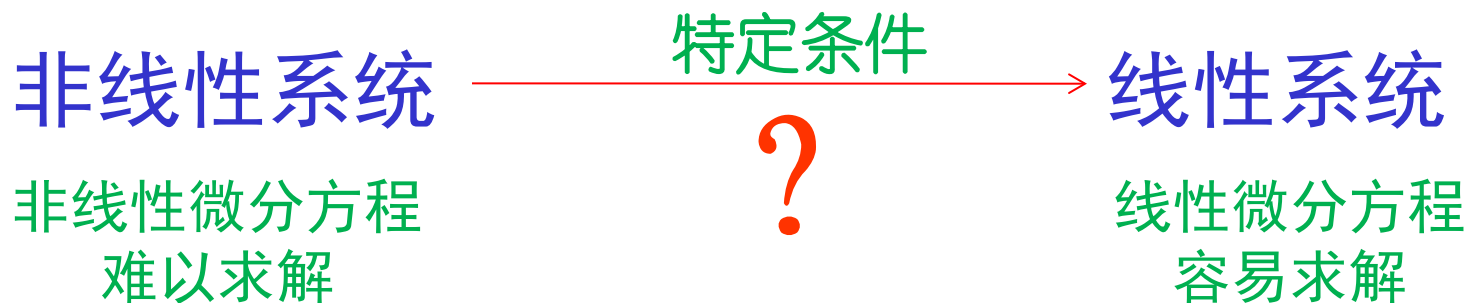
$F_f = c\dot{y}$ friction force due to velocity



2.2 时域中的数学模型—微分方程

几乎所有的物理系统均是非线性系统！

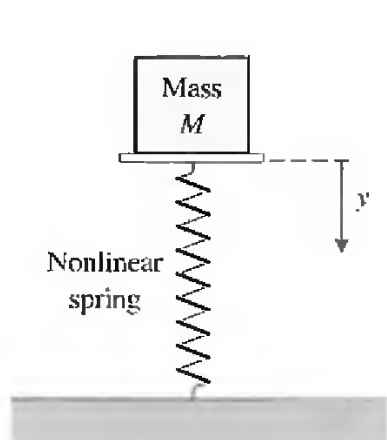
为什么还要研究线性系统??



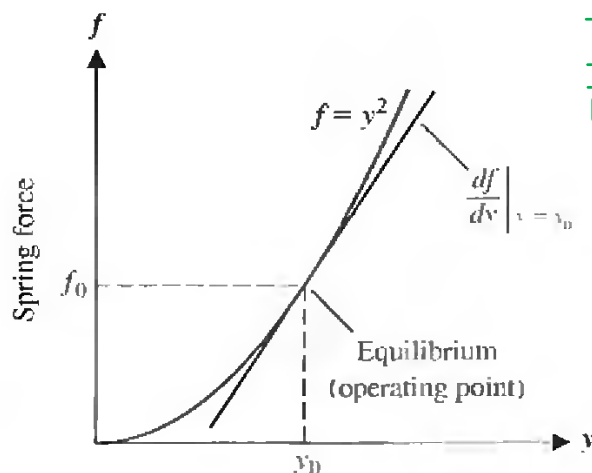


2.2 时域中的数学模型—微分方程

特定条件：系统运行在工作点附近，即“小信号”假设



(a)



(b)

直观：曲线在平衡点邻域内可用直线来逼近

$$f - f_0 = \left. \frac{df}{dy} \right|_{y=y_0} (y - y_0)$$

$$\Delta f = m \Delta y$$

(Dolf) Fig.2.5 非线性弹簧工作点附近的线性化

地球是圆的 ← 大范围
地球是平的 ← 小范围



2.2 时域中的数学模型—微分方程

理论依据：泰勒展开 (Taylor Expansion)

$$f(y) = f(y_0) + \frac{df}{dy}\bigg|_{y_0} (y - y_0) + \frac{1}{2!} \frac{d^2 f}{dy^2}\bigg|_{y_0} (y - y_0)^2 + \overset{\text{高阶项}}{h.o.t.}(y - y_0)$$

当 $y - y_0$ 非常小时

$$f(y) \approx f(y_0) + \frac{df}{dy}\bigg|_{y_0} (y - y_0)$$

$$f(y) - f(y_0) \approx m(y - y_0)$$

非线性函数在工作点附近小邻域内的线性化



2.2 时域中的数学模型—微分方程

理论依据：泰勒展开 (Taylor Expansion)

多元函数 $y = g(x_1, x_2, \dots, x_n)$

在工作点(平衡点) $(x_{1_0}, x_{2_0}, \dots, x_{n_0})$ 附近的线性化

$$\begin{aligned} y = & g(x_{1_0}, x_{2_0}, \dots, x_{n_0}) + \left. \frac{\partial g}{\partial x_1} \right|_{x=x_0} (x_1 - x_{1_0}) \\ & + \left. \frac{\partial g}{\partial x_2} \right|_{x=x_0} (x_2 - x_{2_0}) + \dots + \left. \frac{\partial g}{\partial x_n} \right|_{x=x_0} (x_n - x_{n_0}) \end{aligned}$$



2.2 时域中的数学模型—微分方程

当非线性系统在较大范围内运行时，则不能近似为线性系统

APPLIED
NONLINEAR
CONTROL

Jean-Jacques E. Slotine
Weiping Li

自控原理： 线性时不变系统 (Linear Time-Invariant System, LTI)

输入输出关系不随时间改变
线性微分方程的系数为常数



2.3 Laplace变换

研究线性系统 \longrightarrow 求解微分方程 复杂

参考书: Boyce & DiPrima,
*Elementary Differential Equation and
Boundary Value Problems* (QQ群)

Laplace变换

$f(t)$

$F(s)$

求解代数方程 简单

Laplace变换 (Laplace Transform)

$$F(s) = \mathcal{L}\{f(t)\} \triangleq \int_{0^-}^{\infty} f(t)e^{-st} dt$$

积分变换收敛 $\longrightarrow f(t)$ 可变换

物理可实现的信号通常都是可变换的

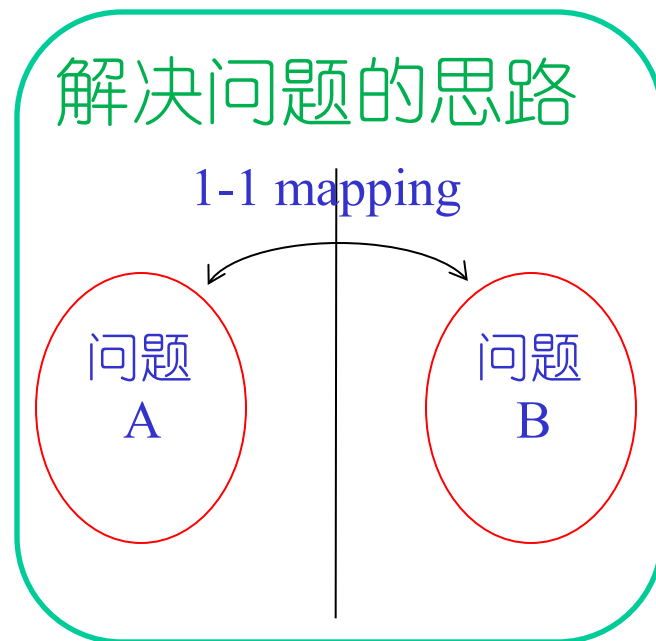
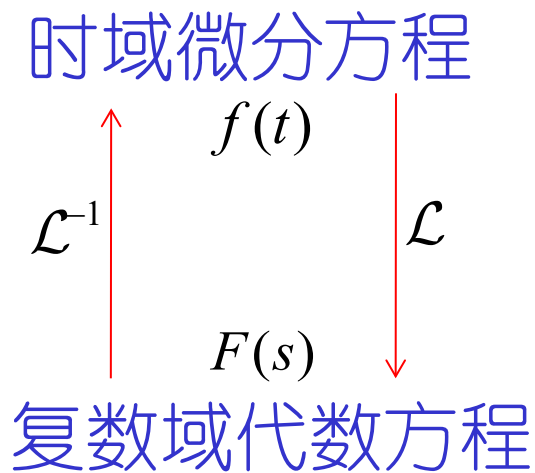


2.3 Laplace变换

Laplace逆变换 (Inverse Laplace Transform)

$$f(t) = \mathcal{L}^{-1}\{F(s)\} \triangleq \frac{1}{2\pi j} \int_{\sigma-j\infty}^{\sigma+j\infty} F(s)e^{+st} ds$$

运用到复变函数的知识





2.3 Laplace变换

Laplace变换的一些性质*

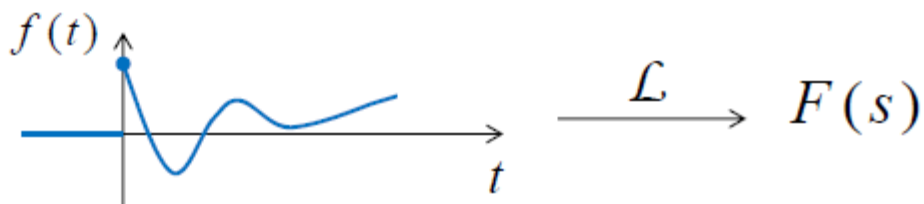
(a) Superposition of functions $f_1(t)$ and $f_2(t)$

$$\mathcal{L}[\alpha f_1(t) + \beta f_2(t)] = \alpha F_1(s) + \beta F_2(s)$$

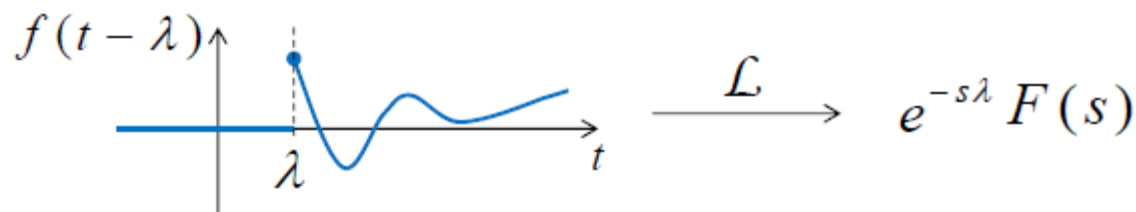
(b) Time Delay (Function shift to right by duration $\lambda > 0$)

$$\mathcal{L}[f(t - \lambda)] = e^{-s\lambda} F(s)$$

Given



Then



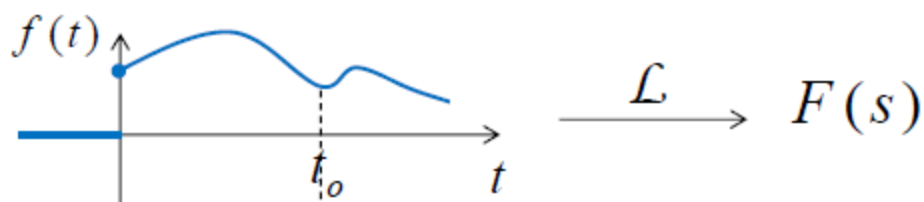


2.3 Laplace变换

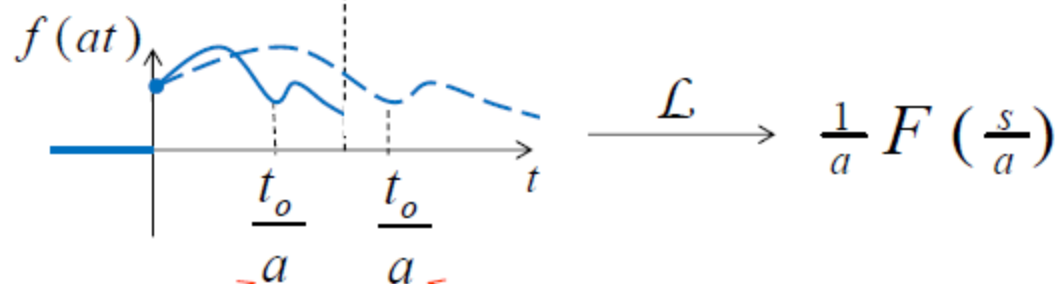
(c) Time Scaling (Expansion/contraction of time axis)

$$\mathcal{L}[f(at)] = \frac{1}{a} F\left(\frac{s}{a}\right), \quad a > 0$$

Given



Then



$a > 1$
Contraction
of time axis

$a < 1$
Extension
of time axis

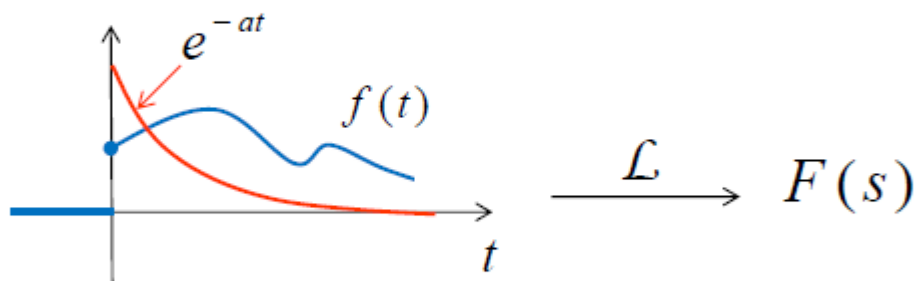


2.3 Laplace变换

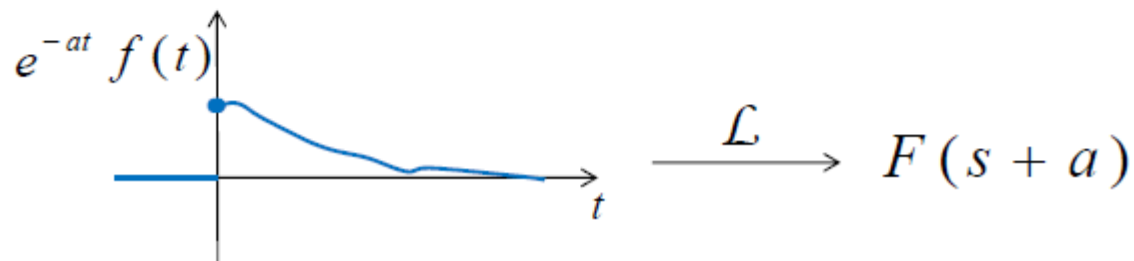
(d) Modulation by Exponential factor

$$\mathcal{L}[e^{-at} f(t)] = F(s + a)$$

Given



Then





2.3 Laplace变换

(e) Differentiation of a function

$$\mathcal{L}\left[\frac{d}{dt} f(t)\right] = sF(s) - f(0^-)$$

- Generalization

$$\mathcal{L}\left[\frac{d^n}{dt^n} f(t)\right] = s^n F(s) - s^{n-1} \underbrace{f(0^-)}_{\substack{\text{Value of } f(t) \\ \text{at } t = 0^-}} - s^{n-2} \underbrace{\dot{f}(0^-)}_{\substack{\text{Value of } \frac{d}{dt} f(t) \\ \text{at } t = 0^-}} - \dots - \underbrace{f^{(n-1)}(0^-)}_{\substack{\text{Value of } \frac{d^{n-1}}{dt^{n-1}} f(t) \\ \text{at } t = 0^-}}$$

- For function and derivatives all starting at zero

$$\mathcal{L}\left[\frac{d^n}{dt^n} f(t)\right] = s^n F(s)$$

(f) Integration of a function

$$\mathcal{L}\left[\int_0^t f(\xi) d\xi\right] = \frac{F(s)}{s}$$



2.3 Laplace变换

(g) Convolution Theorem

$$\mathcal{L}[f_1(t) * f_2(t)] = F_1(s) F_2(s)$$

where “convolution” of function $f_1(t)$ and $f_2(t)$ defined as:

$$\begin{aligned} f_1(t) * f_2(t) &\equiv \int_0^t f_1(t-\tau) f_2(\tau) d\tau \\ &= \int_0^t f_1(\tau) f_2(t-\tau) d\tau \end{aligned}$$

(h) Final value theorem (终值定理)

$$\lim_{t \rightarrow \infty} y(t) = \lim_{s \rightarrow 0} sY(s)$$

成立条件：Y(s)不能在虚轴和右半平面存在极点，原点处不能有多重极点



2.3 Laplace变换



<例2.1> 求解阶跃函数的拉氏变换 $\mathcal{L}\{1\}$

解:
$$\mathcal{L}\{1\} = \int_0^{\infty} e^{-st} 1 dt = -\frac{e^{-st}}{s} \Big|_{t=0}^{t=\infty} = -\frac{0-1}{s} = \frac{1}{s} \quad \text{当 } s > 0.$$

Exercise: 求解 $\mathcal{L}\{e^{-at}\}$

Exercise: 求解 $\mathcal{L}\{f'(t)\}$

Table 2.3 Important Laplace Transform Pairs

$f(t)$	$F(s)$
Step function, $u(t)$	$\frac{1}{s}$
e^{-at}	$\frac{1}{s+a}$
$\sin \omega t$	$\frac{\omega}{s^2 + \omega^2}$
$\cos \omega t$	$\frac{s}{s^2 + \omega^2}$
t^n	$\frac{n!}{s^{n+1}}$
$f^{(k)}(t) = \frac{d^k f(t)}{dt^k}$	$s^k F(s) - s^{k-1} f(0^-) - s^{k-2} f'(0^-) - \dots - f^{(k-1)}(0^-)$
$\int_{-\infty}^t f(t) dt$	$\frac{F(s)}{s} + \frac{1}{s} \int_{-\infty}^0 f(t) dt$
Impulse function $\delta(t)$	1
$e^{-at} \sin \omega t$	$\frac{\omega}{(s+a)^2 + \omega^2}$
$e^{-at} \cos \omega t$	$\frac{s+a}{(s+a)^2 + \omega^2}$
$\frac{1}{\omega} [(\alpha - a)^2 + \omega^2]^{1/2} e^{-at} \sin(\omega t + \phi),$ $\phi = \tan^{-1} \frac{\omega}{\alpha - a}$	$\frac{s+\alpha}{(s+a)^2 + \omega^2}$
$\frac{\omega_n}{\sqrt{1-\zeta^2}} e^{-\zeta \omega_n t} \sin \omega_n \sqrt{1-\zeta^2} t, \zeta < 1$	$\frac{\omega_n^2}{s^2 + 2\zeta \omega_n s + \omega_n^2}$
$\frac{1}{a^2 + \omega^2} + \frac{1}{\omega \sqrt{a^2 + \omega^2}} e^{-at} \sin(\omega t - \phi),$ $\phi = \tan^{-1} \frac{\omega}{-a}$	$\frac{1}{s[(s+a)^2 + \omega^2]}$

表2.3 Laplace变换对



2.3 Laplace变换



<例2.2> 用拉氏变换求解微分方程 $\ddot{y} + 3\dot{y} + 2y = r(t)$
其中 $r(t) = 0$, $y(0^-) = y_0$, $\dot{y}(0^-) = 0$

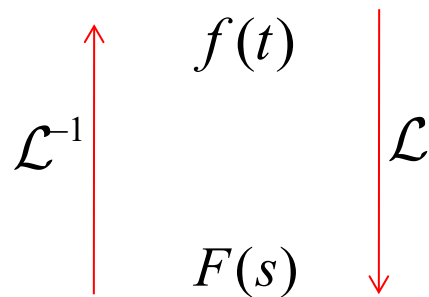
解： 对微分方程 $\ddot{y} + 3\dot{y} + 2y = r(t)$ 进行Laplace变换，得到
 $(s^2Y(s) - sy(0^-) - \dot{y}(0^-)) + 3(sY(s) - y(0^-)) + 2Y(s) = R(s)$
 在初始条件下，有 $s^2Y(s) + 3sY(s) + 2Y(s) - (s+3)y_0 = 0$ ，即

$$Y(s) = \frac{2y_0}{s+1} - \frac{y_0}{s+2}$$

利用Laplace逆变换可得

$$\begin{aligned} y(t) &= \mathcal{L}\{Y(s)\} = \mathcal{L}\left\{\frac{2y_0}{s+1} - \frac{y_0}{s+2}\right\} \\ &= 2y_0e^{-t} - y_0e^{-2t}, \quad t \geq 0 \end{aligned}$$

时域微分方程



复数域代数方程



2.4 复数域中的数学模型—传递函数

● 传递函数 (Transfer Function) 的定义



系统的传递函数为

$$G(s) = \frac{Y(s)}{R(s)} = \frac{\mathcal{L}\{y(t)\}}{\mathcal{L}\{r(t)\}}$$

注意：

1. 传递函数仅描述输入输出的关系，不反映系统的内部信息
2. 输入输出变量的初值假定为0

$$\begin{aligned}\mathcal{L}\{y^{(n)}(t)\} &= s^n Y(s) - s^{n-1} y(0) - s^{n-2} y'(0) - \cdots - y^{(n-1)}(0) \\ \mathcal{L}\{r^{(m)}(t)\} &= s^m R(s) - s^{m-1} r(0) - s^{m-2} r'(0) - \cdots - r^{(m-1)}(0)\end{aligned}$$



2.4 复数域中的数学模型—传递函数

弹簧-质量块-阻尼系统的传递函数

$$M\ddot{y} + ky + b\dot{y} = r(t)$$

↓ Laplace变换

$$M(s^2Y(s) - sy(0) - y'(0)) + kY(s) + b(sY(s) - y(0)) = R(s)$$

↓ 零初始条件

$$(Ms^2 + k + bs)Y(s) = R(s)$$

$$G(s) = \frac{Y(s)}{R(s)} = \frac{1}{Ms^2 + bs + k}$$

系统的传递函数

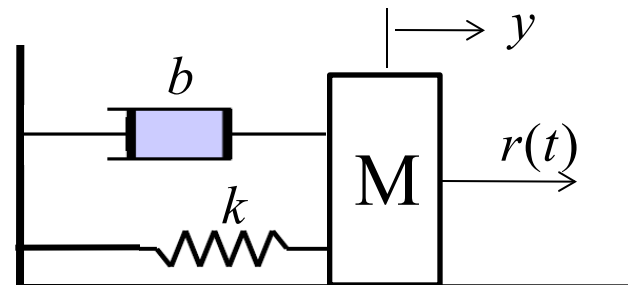


Fig. 2.2 弹簧-质量块-阻尼系统



2.4 复数域中的数学模型—传递函数

● 线性定常系统(LTI)的传递函数

线性定常系统的微分方程模型

$$\begin{aligned}
 & a_n \frac{d^n y(t)}{dt^n} + a_{n-1} \frac{d^{n-1} y(t)}{dt^{n-1}} + \cdots + a_1 \frac{dy(t)}{dt} + a_0 y(t) \\
 &= b_m \frac{d^m r(t)}{dt^m} + b_{m-1} \frac{d^{m-1} r(t)}{dt^{m-1}} + \cdots + b_1 \frac{dr(t)}{dt} + b_0 r(t)
 \end{aligned}$$

where $a_i \in R (i = 0, 1, \dots, n)$ 、 $b_j \in R (j = 0, 1, \dots, m)$

Laplace变换
(零初始条件) $\mathcal{L}\{f^{(k)}(t)\} = s^k F(s)$

$$\begin{aligned}
 & (a_n s^n + a_{n-1} s^{n-1} + \cdots + a_1 s + a_0) Y(s) \\
 &= (b_m s^m + b_{m-1} s^{m-1} + \cdots + b_1 s + b_0) R(s)
 \end{aligned}$$



2.4 复数域中的数学模型—传递函数

线性定常系统的传递函数

$$G(s) \triangleq \left. \frac{Y(s)}{R(s)} \right|_{\text{零初始}} = \frac{b_m s^m + b_{m-1} s^{m-1} + \cdots + b_1 s + b_0}{a_n s^n + a_{n-1} s^{n-1} + \cdots + a_1 s + a_0}$$



- 传递函数反映系统“**零状态**”响应的传递关系；
- 表明了系统数学模型的阶次 n ，它表征着系统的固有特性(如系统的结构与参数等)，与输入 $r(t)$ 的形式无关；
- 传递函数是研究线性系统动态特性的重要工具。利用Laplace变换给出的传递函数 $G(s)$ 是最常见的形式



2.4 复数域中的数学模型—传递函数

传递函数 $G(s)$ 也常用以下形式表示：

$$G(s) = \frac{\overset{b_0}{a_0} \frac{d_m s^m + d_{m-1} s^{m-1} + \cdots + d_1 s + 1}{c_n s^n + c_{n-1} s^{n-1} + \cdots + c_1 s + 1}}{K \frac{\prod_{i=1}^m (T_i s + 1)}{\prod_{j=1}^n (\tau_j s + 1)}}$$

其中, K —系统增益 或 传递系数 或 静态增益

$$G(s) = \frac{b_m}{a_n} \frac{s^m + h_{m-1} s^{m-1} + \cdots + h_1 s + h_0}{s^n + l_{n-1} s^{n-1} + \cdots + l_1 s + l_0} = K_g \frac{\prod_{i=1}^m (s - z_i)}{\prod_{j=1}^n (s - p_j)}$$

其中, z_i —系统零点 p_j —系统极点



2.4 复数域中的数学模型—传递函数

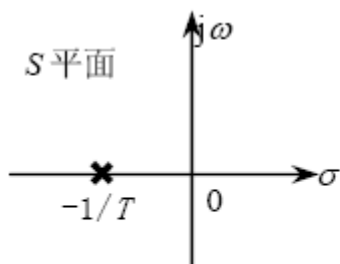
典型环节的传递函数

1. 惯性环节

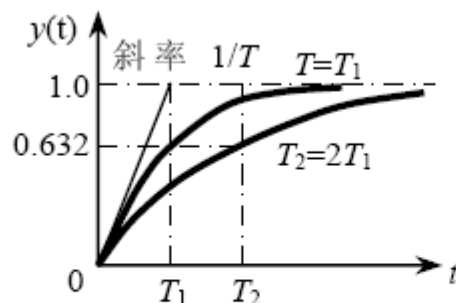
$$T \frac{dy(t)}{dt} + y(t) = r(t)$$

$$G(s) = \frac{1}{Ts + 1}$$

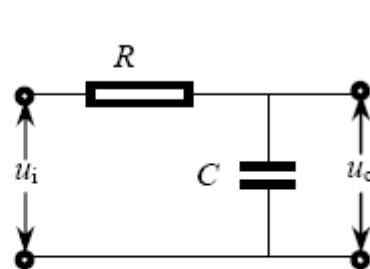
其中, T —惯性环节时间常数



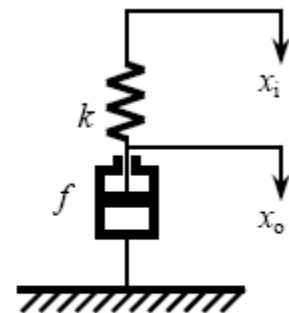
(a) 零极点分布



(b) 单位阶跃响应曲线



(c) RC 电路 $\frac{U_o(s)}{U_i(s)} = \frac{1}{Ts + 1}$



(d) 弹簧-阻尼器系统

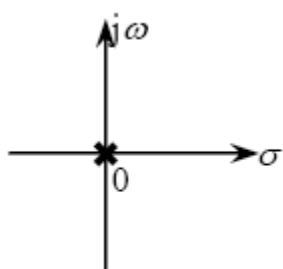


2.4 复数域中的数学模型—传递函数

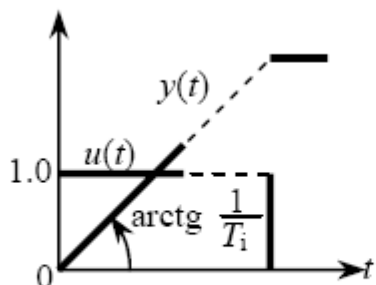
2. 积分环节

$$T_i \frac{dy(t)}{dt} = r(t)$$

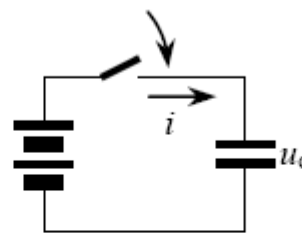
$$G(s) = \frac{1}{T_i s}$$



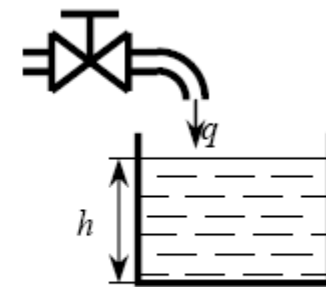
(a) 零极点分布



(b) 单位阶跃响应曲线



(c) 电容器充电 $\frac{Uc(s)}{I(s)} = \frac{1}{Cs}$



(d) 水箱 $\frac{H(s)}{Q(s)} = \frac{1}{Cs}$



2.4 复数域中的数学模型—传递函数

3. 振荡环节

通常包含两种不同的储能元件

$$T^2 \frac{d^2 y(t)}{dt^2} + 2T\zeta \frac{dy(t)}{dt} + y(t) = r(t), \quad 0 < \zeta < 1$$

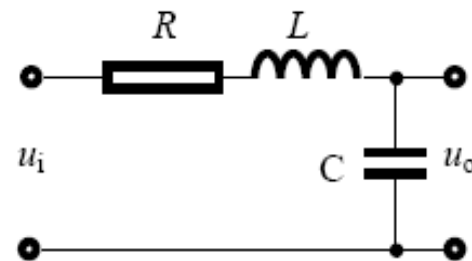
$$G(s) = \frac{1}{Ts^2 + 2\zeta Ts + 1} = \frac{\omega_n^2}{s^2 + 2\zeta\omega_n s + \omega_n^2},$$

其中：

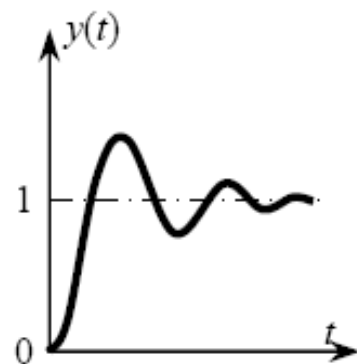
T 为时间常数，

ζ 为阻尼比, $0 < \zeta < 1$

$\omega_n = \frac{1}{T}$ 为无阻尼自然振荡角频率



(c) RLC 串联电路



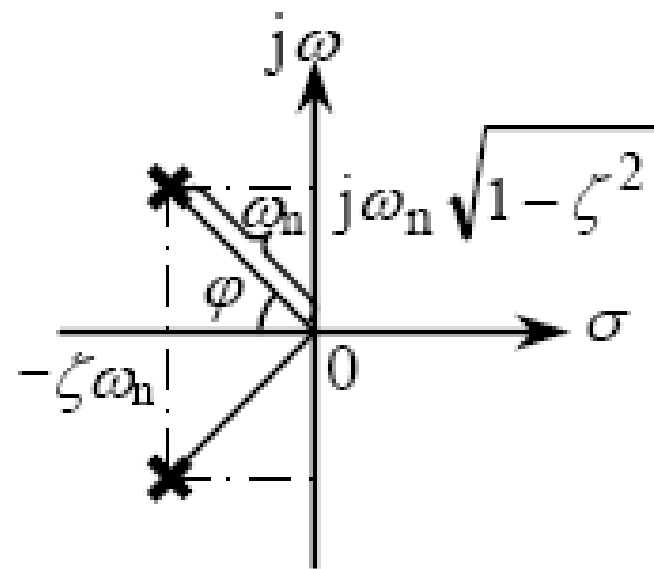
(b) 单位阶跃响应曲线



2.4 复数域中的数学模型—传递函数

$$\begin{aligned}
 G(s) &= \frac{1}{Ts^2 + 2\zeta Ts + 1} \\
 &= \frac{\omega_n^2}{s^2 + 2\zeta\omega_n s + \omega_n^2} \\
 &= \frac{\omega_n^2}{(s + p_1)(s + p_2)}, \quad \omega_n = \frac{1}{T}
 \end{aligned}$$

传函极点 $p_{1,2} = -\zeta\omega_n \pm j\omega_n\sqrt{1-\zeta^2}$



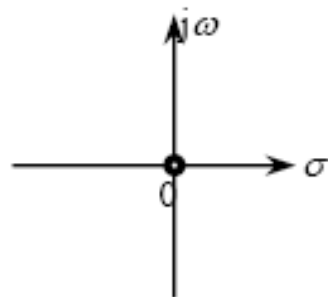


2.4 复数域中的数学模型—传递函数

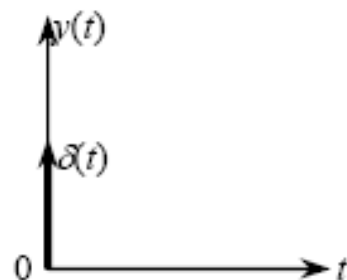
4. 微分环节

$$y(t) = T_d \frac{dr(t)}{dt}$$

$$G(s) = T_d s$$



(a) 零极点分布



(b) 单位阶跃响应曲线

理想微分环节的传递函数不是真有理分式，
工程实现较为困难

$$\left. \frac{dr(t)}{dt} \right|_{t_0} = \lim_{\Delta t \rightarrow 0} \frac{r(t_0 + \Delta t) - r(t_0)}{\Delta t}$$



2.4 复数域中的数学模型—传递函数

工程上常采用具有惯性环节的微分环节

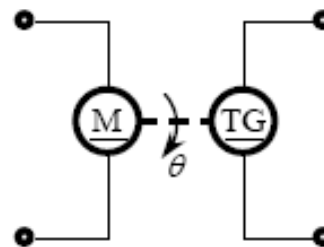
$$G(s) = \frac{T_1 s}{T_2 s + 1}$$

$$s = \sigma + j\omega$$

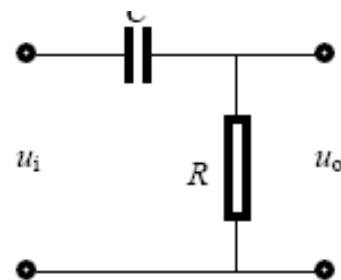
低频近似

$$\omega \rightarrow 0$$

$$G(s) \approx T_3 s$$



(c) 安装在电动机轴上的测速发电机



(d) RC 电路

$$v_o = iR = RC \frac{d(v_i - v_o)}{dt}$$

$$CR \dot{v}_i = v_o + CR \dot{v}_o$$

$$CRs V_i(s) = (CRs + 1)V_o(s)$$

$$G(s) = \frac{V_o(s)}{V_i(s)} = \frac{CRs}{CRs + 1}$$



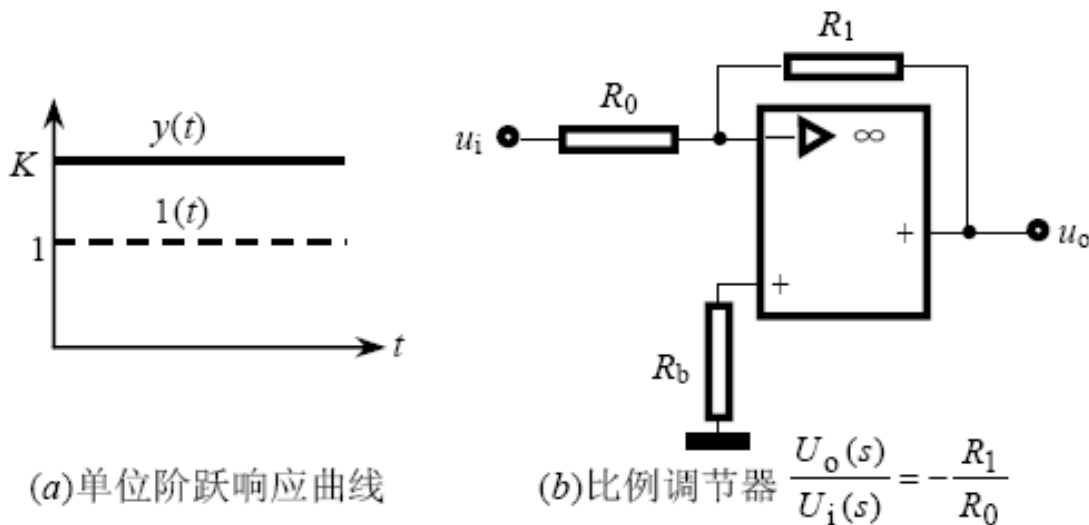
2.4 复数域中的数学模型—传递函数

5. 比例环节

$$G(s) = K_p$$

$$y(t) = K_p r(t)$$

其中, K_p 为比例系数 (增益)



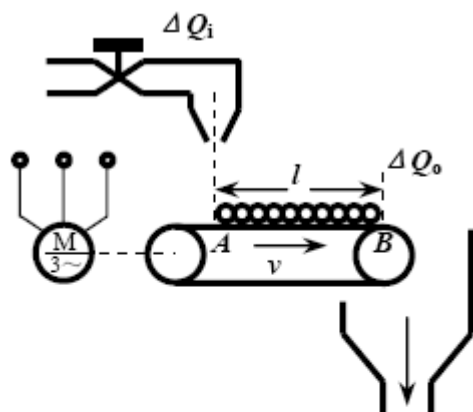


2.4 复数域中的数学模型—传递函数

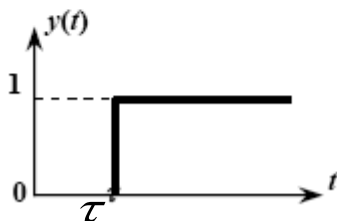
6. 时滞环节

$$y(t) = r(t - \tau)$$

$$G(s) = e^{-\tau s}$$



(a) 带式运输机系统



(b) 单位阶跃响应曲线

实际控制系统的传递函数均可视为上述典型环节的某种组合,因此熟悉和掌握典型环节对于分析研究系统是很基本的,也是很重要的



2.4 复数域中的数学模型—传递函数

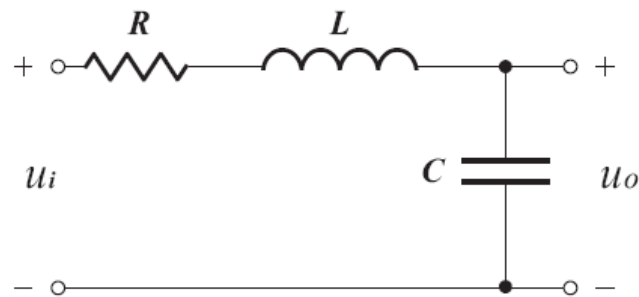
推导电网络的传递函数时,可直接通过电路元件的复阻抗
根据电路定律获得



<例 2.3> 求解系统传递函数

$$G(s) = \frac{U_o(s)}{U_i(s)} = \frac{Z_C(s)}{Z_L(s) + Z_R(s) + Z_C(s)}$$

$$= \frac{1/Cs}{Ls + R + 1/Cs} = \frac{1}{LCs^2 + RCs + 1}$$



$$v_L = L \frac{di_L}{dt}$$

$$V_L(s) = LsI_L(s)$$

复阻抗 $Z_L(s) = \frac{V_L}{I_L} = Ls$

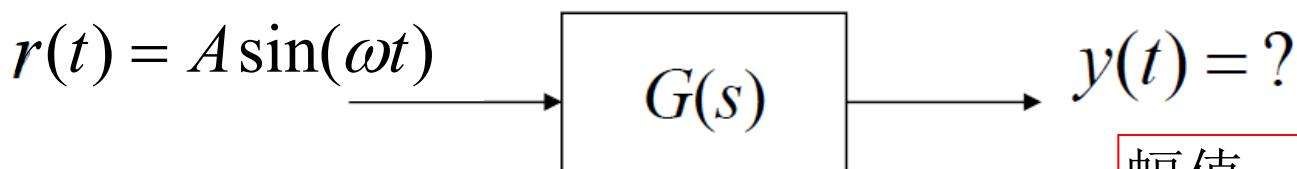
$$i_c = C \frac{dv_c}{dt}$$

$$I_c(s) = CsV_c(s)$$

$$Z_c(s) = \frac{V_c}{I_c} = \frac{1}{Cs}$$



2.4 复数域中的数学模型—传递函数



稳定线性时不变系统

幅值: $A \rightarrow |G(j\omega)| A$

频率: $\omega \rightarrow \omega$

相角: $0 \rightarrow \angle G(j\omega)$

频率特性:

在正弦输入信号作用下，系统输出的稳态分量与输入量的复数之比，用 $G(j\omega)$ 表示。

$$G(j\omega) = G(s) \big|_{s=j\omega}$$



2.4 复数域中的数学模型—传递函数

- 三种输入输出 (I/O) 模型之间的关系

